

新日本製鉄 正会員 山田 兼裕
名古屋大学 正会員 山田健太郎

はじめに 鋼構造物の製作における部材の接合法として、溶接は最も一般的に行なわれている方法である。しかし、溶接はその施工上、接合部に欠陥が生じ易く、その欠陥において高い応力集中が生ずる。これに対し通常行なわれている溶接接合部の設計では応力集中の影響を無視して有効断面積を基準にして強度を推定している。これは溶着金属が強くて靭性の高い材料を用いている為、終局強度で評価すれば応力集中の影響が小さいという考え方に基づいているからである。しかし、このことが定量的に保証されているわけではない。そこで本報では、溶着金属の靭性の定量的な評価として弾塑性破壊力学を利用し、溶着金属の破壊靭性値 (J_{IC}) を求めた。用いた弾塑性破壊力学のパラメータは J 積分であるが、同時にき裂先端開口変位 ($CTOD$) の測定も行なった。この溶着金属の J_{IC} 値があれば、溶接部にき裂を有する任意の部材の破壊挙動の予測が可能となる。

J_{IC} 試験方法 J_{IC} 試験方法は各種提案されているが、材料試験として規定されている代表的なものは、日本機械学会案と ASTM 案の 2 種類である。本報の J_{IC} 試験は Begley と Landes が提案した R カーブ法に基づいた ASTM 案とほぼ従って行なった。R カーブ法は部材中のき裂に引張力が作用したときのき裂先端の挙動と J 積分との関係を利用してなもので、これを模式的に示したのが図 1 である。 J はき裂先端のひずみ集中を表わすパラメータで、 J が増すとき裂先端の鈍化が進み $J = J_{IC}$ に達すると、き裂先端のストレッチゾーンから安定き裂成長がおこる。安定き裂成長と J の関係はほぼ直線近似されることが実験的に確かめられている。図 1 で示すように R カーブ法は、鈍化線と R カーブの交点から J_{IC} を評価する方法である。なお図 1 で示すき裂先端の開口量が $CTOD$ である。

試験片は CT 試験片を用い、溶着金属部で破壊が生ずるよう切り欠き部で 2 枚の SM50B 鋼板を溶接したものを使用する。溶接条件を表 1 に示す。溶接後、鋼板の両面を仕上げ機械加工を行なって図 2 に示すような試験片を製作した。

表 1 溶接条件

溶接法	被覆アーフキ溶接
溶接棒	低水素タイプ L-55 4.0φ
溶接速度	14 ~ 17 cm/min
電流 & 電圧	160 A, 25 V
入熱量	10 ~ 30 kJ/cm
開先形状 & 接觸法	

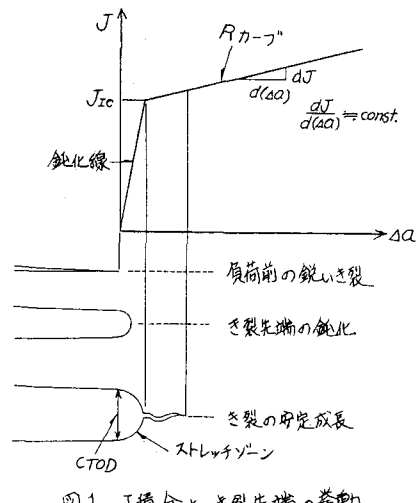
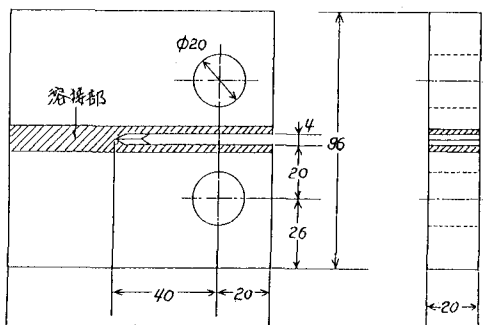
図 1 J 積分とき裂先端の挙動

図 2 溶接部を有する CT 試験片 (mm)

試験方法はほぼASTM案に従っているから試験方法の詳細については省くが、一般にJ_{IC}試験の対象としているのは単一材料の試験片で、溶着部と母材からなる複合材料の試験片では、その適用の妥当性が保証されない。このような試験片で問題となるのはJ積分の評価法である。ASTM案ではCT試験片のJ値をMerkleとContentが提案した簡便式を用いて推定しているが、この適用の妥当性の検討が必要である。そのため有限要素法を利用してCT試験片のJ値の解析を行なった。解析対象は除荷が生ずるまで試験を行なったCT試験片で、その着力点変位とJ値との関係を示すのが図3である。解析は定ひずみ三角形要素を用い、ひずみ場が理論で計算した。経路積分法により経路のJ値を計算し、その平均をとった。この図よりJの簡便式はリガメント部を溶接したCT試験片に対しても適用が可能であることがわかる。

J_{IC}試験結果 試験は6回行ない各試験片について、簡便式から求めたJ値と、加熱着色して求めたき裂先端の移動量△aの関係を示したのが図4である。Rカーブは2~6のデータ点を最小自乗法で直線近似したものである。ASTMで規定された鉄化線は実験と合わないという批判があるが、本実験の結果においてもASTMの鉄化線はデータ点と適合せず、溶着金属のJ_{IC}を高めに評価することになり危険側の値となる。溶着金属のJ_{IC}としては実験からの予想鉄化線を用いた値(58.7kgf/mm)が適当と考えられる。また実験で求めた溶着金属におけるJとCTODとの関係を図5に示す。CTODはCT試験片の両面を読み取て測定した平均である。両者はほぼ同一直線上にのるのがわかる。最小自乗法で近似した直線を合わせて示す。

まとめ リガメント部を溶接したCT試験片を用いて溶着金属の破壊拘束値(J_{IC})を求めた。また有限要素法を用いて溶接CT試験片に対してもJの簡便式が適用可能であることを示した。今回用いたCT試験片はASTM規定の板厚制限を満足しておらず、平面ひずみを保証しない。したがって今回求めたJ_{IC}は平面ひずみに対するJ_{IC}より高めの値となっていると考えられる。なお、一般材料の代表的なJ_{IC}値(平面ひずみ)を表2に示す。

参考文献

- 1) 日本機械学会基準：弾塑性破壊拘束性J_{IC}試験方法 JSME S001-1981
- 2) Clarke, G.A., et al., J. Testing and Evaluation, 7-1, 49 (1979)
- 3) 表面粗さによるJ_{IC}試験機を用いた簡便なJ_{IC}試験法について
日本造船学会論文集 No.153

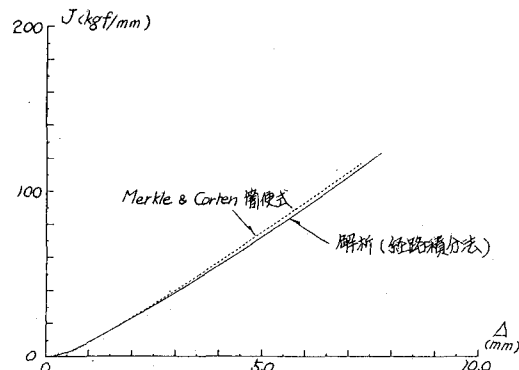


図3 CT試験片のJの解析

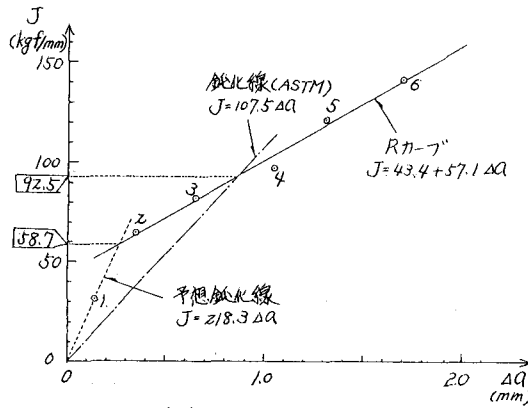


図4 試験結果 J～Δa関係

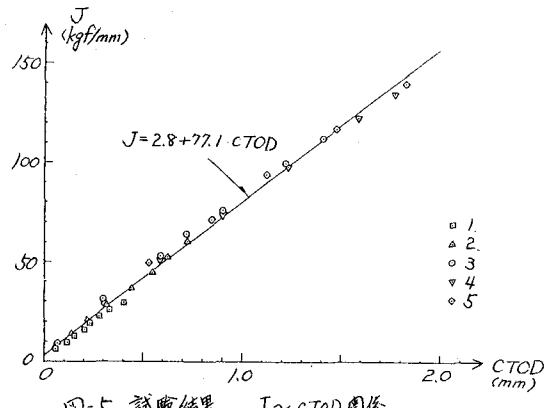


図5 試験結果 J～CTOD関係

表-2 各種材料のJ_{IC}値の例³⁾

材料	J _{IC} (kgf/mm)
SM50B	11.9
A533B	18.0
HT80	27.5
SUS304	20.0
アルミニウム 合金7075	4.8